

УДК 532.59+532.82

© 1998 г. С.И. ГОРЛОВ

ВЛИЯНИЕ ПОВЕРХНОСТНЫХ И ВНУТРЕННИХ ВОЛН НА ГИДРОДИНАМИЧЕСКИЕ ХАРАКТЕРИСТИКИ КОНТУРА В ЛИНЕЙНОМ ПРИБЛИЖЕНИИ

В рамках линейной теории разработан метод решения задачи о движении эллиптического контура в трехслойной жидкости. Приведены результаты расчета гидродинамических нагрузок контура и формы границ раздела сред для следующих задач: о движении контура под границей раздела двух сред, в двухслойной жидкости под твердой крышкой, а также в двухслойной жидкости под свободной поверхностью. На основании численного эксперимента сделан вывод о существенном влиянии поверхностных и внутренних волн на гидродинамические характеристики контура.

Поверхностные и внутренние волны, генерируемые погруженным в жидкость телом, издавна привлекают к себе внимание многих авторов. Наиболее полно состояние исследований по этому вопросу представлено в обзоре [1]. Дополнительно укажем следующие работы. В [2] предложен оригинальный метод решения задачи об обтекании кругового цилиндра потоком двухслойной жидкости. Решение представлено в виде быстро сходящегося ряда, получены формулы для гидродинамических нагрузок, приведены значения волнового сопротивления и подъемной силы. Обзорная работа [3] содержит результаты численного решения методом гибридных конечных элементов линейной задачи о движении цилиндра вблизи границы раздела двух жидких сред, в двухслойной жидкости под твердой крышкой и под свободной поверхностью. Приведено сравнение с исследованиями других авторов. Для решения задачи о движении контура в трехслойной жидкости в [4, 5] разработан метод граничных особенностей. Представлены результаты обширного численного эксперимента по оценке влияния границ раздела на волновое сопротивление и подъемную силу кругового цилиндра.

Несмотря на имеющиеся результаты, ряд вопросов остается недостаточно исследованным. В частности, не выяснено поведение гидродинамических характеристик и формы границ раздела сред в окрестности критического числа Фруда. Кроме того, представляет интерес разработать метод решения данной задачи, провести численный эксперимент и на его основе сделать вывод о влиянии поверхностных и внутренних волн на гидродинамические нагрузки контура.

1. Рассмотрим линейную задачу о равномерном движении эллиптического контура L в трехслойной жидкости. Жидкость в каждом слое D_k ($k = 1, 2, 3$) предполагается идеальной, несжимаемой, тяжелой и однородной. Скорости жидкости в бесконечном удалении перед контуром одинаковы во всех слоях. Введем инерциальную систему координат, связанную с контуром, располагая ось x вдоль невозмущенной границы второго и третьего слоев. Эллипс расположен в среднем слое. Обозначим через g ускорение силы тяжести, ρ_k – плотность жидкости в k -м слое ($k = 1, 2, 3$), V_∞ – скорость жидкости в бесконечном удалении перед контуром, a и b – большая и малая полуоси эллипса, h – отстояние центра эллипса от границы раздела второго и третьего слоев, H – толщина среднего слоя.

Будем рассматривать задачу в плоскости комплексного переменного $z = x + iy$. Введем комплексные скорости возмущенного движения жидкости $\bar{V}_k(z)$ ($k = 1, 2, 3$), аналитические в k -м слое (вне L при $k = 2$) и удовлетворяющие граничным условиям [6]: непрерывности давления и нормальной составляющей скорости при переходе через границу раздела сред D_k и D_{k+1} , непротекания в точках контура и затухания возмущенных скоростей в бесконечном удалении перед контуром

$$\text{Im } \bar{V}_k(z) = \text{Im } \bar{V}_{k+1}(z) \quad \text{при } z = x + iH(k-2) \quad (k = 1, 2) \quad (1.1)$$

$$\text{Re} \left\{ m_{kk+1}^k \frac{d\bar{V}_k(z)}{dz} - m_{kk+1}^{k+1} \frac{d\bar{V}_{k+1}(z)}{dz} + iv_k \bar{V}_k(z) \right\} = 0 \quad (1.2)$$

$$z = x + iH(k-2) \quad (k = 1, 2)$$

$$m_{kk+1}^k = \frac{\rho_k}{\rho_k + \rho_{k+1}}, \quad m_{kk+1}^{k+1} = \frac{\rho_{k+1}}{\rho_k + \rho_{k+1}}, \quad v = \frac{g}{V_\infty^2}$$

$$m_{kk+1}^k = m_{kk+1}^k - m_{kk+1}^{k+1}, \quad v_k = vm_{kk+1}^k$$

$$\text{Im} \left\{ (V_\infty + \bar{V}_2(z)) e^{i\theta(z)} \right\} = 0 \quad (z \in L) \quad (1.3)$$

$$\lim_{z \rightarrow -\infty} \bar{V}_k(z) = 0 \quad (k = 1, 2, 3) \quad (1.4)$$

где $\theta(z)$ – угол между касательной к L в точке z и осью x .

Граничным условиям (1.1), (1.2) и (1.4) удовлетворяют функции

$$\bar{V}_k(z) = \int_L K_k(z, \zeta) \gamma(\zeta) e^{-i\theta(\zeta)} d\zeta \quad (1.5)$$

где $\gamma(\zeta)$ – интенсивность вихревого слоя, моделирующего L ($\zeta = \xi + i\eta$). Выражения $K_k(z, \zeta)$ ($k = 1, 2, 3$) – решение соответствующей краевой задачи (1.1), (1.2) и (1.4) для вихря единичной интенсивности, полученное в [6] и имеющее вид

$$K_1(z, \zeta) = \frac{1}{\pi_0} \int_0^\infty G_1(\lambda) e^{-i\lambda(z-\bar{\zeta})} d\lambda - i \sum_{j=1}^P \text{Res}_{\lambda=\lambda_j} \left[G_1(\lambda) e^{-i\lambda(z-\bar{\zeta})} \right]$$

$$K_2(z, \zeta) = \frac{1}{2\pi i} \frac{1}{z-\zeta} + \frac{1}{\pi_0} \int_0^\infty G_2(\lambda) e^{-i\lambda(z-\bar{\zeta})} d\lambda - i \sum_{j=1}^P \text{Res}_{\lambda=\lambda_j} \left[G_2(\lambda) e^{-i\lambda(z-\bar{\zeta})} \right] +$$

$$+ \frac{1}{\pi_0} \int_0^\infty G_3(\lambda) e^{i\lambda(z-\zeta)} d\lambda + i \sum_{j=1}^P \text{Res}_{\lambda=\lambda_j} \left[G_3(\lambda) e^{i\lambda(z-\zeta)} \right]$$

$$K_3(z, \zeta) = \frac{1}{\pi_0} \int_0^\infty G_4(\lambda) e^{i\lambda(z-\zeta)} d\lambda + i \sum_{j=1}^P \text{Res}_{\lambda=\lambda_j} \left[G_4(\lambda) e^{-i\lambda(z-\bar{\zeta})} \right]$$

$$G_1(\lambda) = m_{12}^2 \lambda \left(\lambda m_{23} + v_2 + (\lambda - v_2) e^{-2\lambda H} \right) e^{2\lambda H} / T(\lambda)$$

$$G_2(\lambda) = \frac{1}{2} (\lambda m_{23} + v_2) \left((\lambda - v_1) e^{2\lambda H} - (\lambda m_{12} - v_1) e^{-2\lambda H} \right) / T(\lambda)$$

$$G_3(\lambda) = \frac{1}{2} (\lambda m_{12} - v_1) \left((\lambda - v_2) e^{-2\lambda H} + \lambda m_{23} + v_2 \right) / T(\lambda)$$

$$G_4(\lambda) = m_{23}^2 \lambda \left((\lambda m_{12} - v_1) e^{-2\lambda H} - (\lambda - v_1) e^{2\lambda H} \right) / T(\lambda)$$

$$T(\lambda) = (\lambda m_{12} - v_1) (\lambda m_{23} + v_2) + (\lambda - v_1) (\lambda - v_2) e^{2\lambda H}$$

где λ_j ($j = 1, P$) – положительные корни уравнения $T(\lambda) = 0$.

$$P = 2 \quad (A < 0), \quad P = 1 \quad (A > 0)$$

$$A = m_{23}^2 + (v_2 / v_1) m_{12}^2 - H v_2$$

Для определения функции $\gamma(\zeta)$ имеем сингулярное интегральное уравнение, полученное подстановкой (1.5) в (1.3). После решения этого уравнения методом дискретных вихрей определяются комплексные скорости $\bar{V}_k(z)$ из (1.5), а затем распределение давления p по контуру L

$$p - p_\infty = -\frac{1}{2} \rho_2 \left(|V_\infty + \bar{V}_2(z)|^2 - V_\infty^2 \right)$$

где p_∞ – давление в бесконечно удаленной точке; а также волновое сопротивление R_x , подъемная сила R_y и момент M относительно $z_M = x_M + iy_M$

$$R_x - iR_y = i \int_L (p - p_\infty) e^{-i\theta} ds$$

$$M = - \int_L (p - p_\infty) [(\xi - x_M) \cos \theta + (\eta - y_M) \sin \theta] ds$$

Форма границы раздела определяется функцией $y = f_k(x)$, где

$$f_k(x) = -\frac{1}{v_k} \operatorname{Re} \left\{ m_{kk+1}^k \bar{V}_k(z) - m_{kk+1}^{k+1} \bar{V}_{k+1}(z) \right\}, \quad z = x + iH(k-2) \quad (k=1,2)$$

2. Рассмотрим движение контура под границей раздела двух сред ($H = -\infty$). В этом случае выражения $K_k(z, \zeta)$ ($k=2, 3$) будут иметь вид

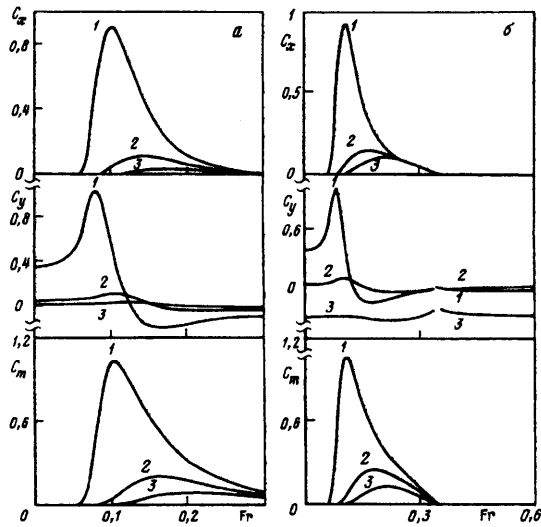
$$K_2(z, \zeta) = \frac{1}{2\pi i} \frac{1}{z - \zeta} + \frac{m_{23}}{2\pi i} \frac{1}{z - \zeta} + \frac{v_2 m_{23}^2}{\pi} \int_0^\infty \frac{e^{-i\lambda(z-\bar{\zeta})}}{\lambda - v_2} d\lambda - v_2 m_{23}^2 i e^{-iv_2(z-\bar{\zeta})}$$

$$K_3(z, \zeta) = \frac{m_{23}^2}{\pi i} \frac{1}{z - \zeta} - \frac{v_2 m_{23}^2}{\pi} \int_0^\infty \frac{e^{i\lambda(z-\zeta)}}{\lambda - v_2} d\lambda - v_2 m_{23}^2 i e^{iv_2(z-\zeta)}$$

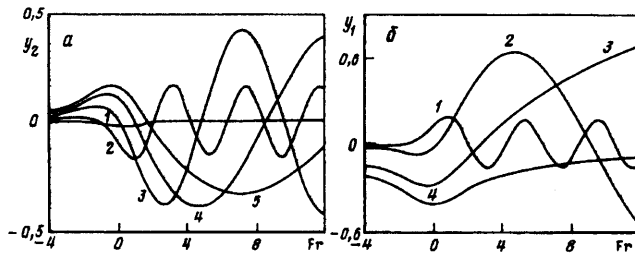
Параметрами задачи являются: b/a – отношение полуосей эллипса, h/a – погружение эллипса, ρ_3/ρ_2 – отношение плотностей, число Фруда $Fr = V_\infty / \sqrt{ga}$. На основании разработанного метода был проведен численный эксперимент по оценке влияния этих параметров на коэффициенты волнового сопротивления $C_x = 2R_x / \rho_2 a V_\infty^2$, подъемной силы $C_y = 2R_y / \rho_2 a V_\infty^2$, момента относительно центра эллипса $C_m = 2M / \rho_2 a^2 V_\infty^2$.

Ниже приведено сравнение результатов расчета гидродинамических характеристик кругового цилиндра C_{x1} и C_{y1} , движущегося под границей раздела двух сред, со значениями C_{x2} и C_{y2} , полученными в [2] (в расчетах полагалось $h/a = 2,0$ и $\rho_3/\rho_2 = 0,97$):

$Fr_h / \sqrt{m_{23}}$	0,0	0,2	0,4	0,5	0,8	1,0
C_{x1}	0,00000	0,00000	0,00332	0,28872	0,51330	0,36066
C_{x2}	0,00000	0,00000	0,00320	0,28946	0,51430	0,36156
C_{y1}	0,22920	0,24651	0,31553	0,52279	0,18693	-0,06896
C_{y2}	0,22977	0,24713	0,31490	0,52418	0,18745	-0,06910
$Fr_h / \sqrt{m_{23}}$	1,2	1,4	1,6	1,8	2,0	∞
C_{x1}	0,20568	0,11387	0,06415	0,03725	0,02234	0,00000
C_{x2}	0,20619	0,11415	0,06431	0,03733	0,02239	0,00000
C_{y1}	-0,13152	-0,12602	-0,10570	-0,08579	-0,06952	-0,00289
C_{y2}	-0,13183	-0,12632	-0,10596	-0,08599	-0,06969	-0,00289



Фиг. 1. Гидродинамические характеристики эллиптического контура ($b/a = 0,5$), движущегося под границей раздела сред ($\rho_3/\rho_2 = 0,97$) (1, а); $h/a = 1$; 2; 3 (кривые 1–3), и движущегося в двухслойной жидкости под твердой крышкой ($\rho_1/\rho_2 = 0,97$) ($H/a = 4$) (1, б); $h/a = 3$; 2; 1 (кривые 1–3)



Фиг. 2. Внутренние волны, генерируемые эллиптическим контуром ($b/a = 0,5$), движущимся под границей раздела сред ($\rho_3/\rho_2 = 0,97$), $h/a = 2$, $Fr = 0,05$; $0,1$; $0,15$; $0,2$; $0,25$ (кривые 1–5) (а) и $x_1 = x/a$, $y_k = f_k(x)$, $k = 1, 2$, в двухслойной жидкости под твердой крышкой при $\rho_3/\rho_2 = 0,97$, $H/a = 4$, $h/a = 2$, $Fr = 0,1$; $0,2$; $0,3$; $0,4$ (кривые 1–4) (б)

Проведенное сравнение позволяет судить о высокой точности разработанного метода.

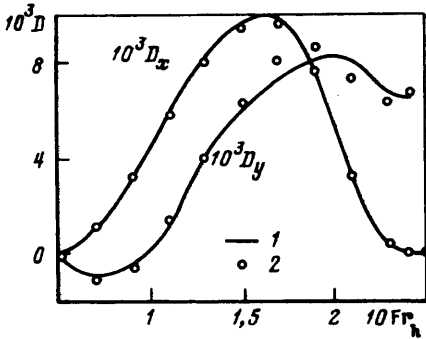
На фиг. 1, а представлены результаты расчета гидродинамических характеристик эллиптического контура ($b/a = 0,5$), движущегося под границей раздела морской и пресной воды ($\rho_3/\rho_2 = 0,97$). Влияние параметров задачи на форму границы раздела сред демонстрируется на фиг. 2, а. Влияние наличия границы раздела сред на гидродинамические характеристики контура проявляется наиболее сильно при $Fr < 0,3$.

Рассмотрим движение контура в двухслойной жидкости под твердой крышкой ($\rho_2/\rho_3 = 0$). Выражения $K_k(z, \zeta)$ ($k = 1, 2$) будут иметь вид

$$K_1(z, \zeta) = \frac{1}{\pi} \int_0^{\infty} \frac{F_1(\lambda)}{T(\lambda)} e^{-i\lambda(z-\zeta)} d\lambda - i \frac{F_1(\lambda_1)}{T'(\lambda_1)} e^{-i\lambda_1(z-\zeta)}$$

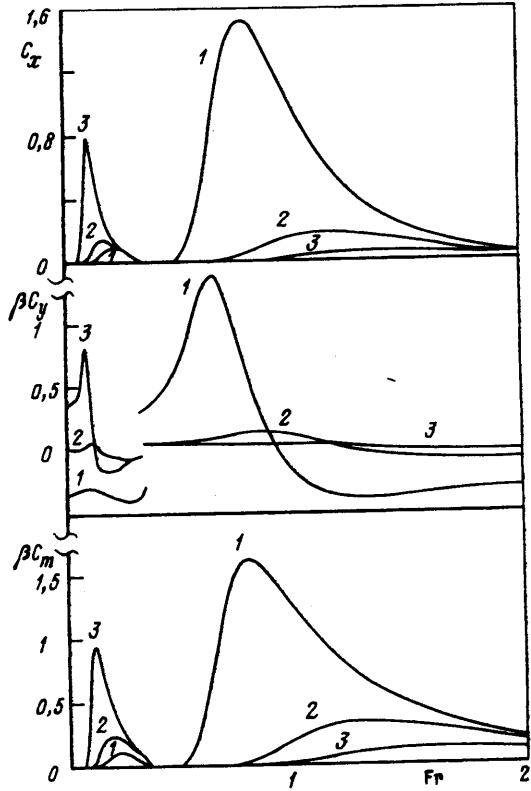
$$K_2(z, \zeta) = \frac{1}{2\pi i} \frac{1}{z-\zeta} - \frac{1}{2\pi i} \frac{1}{z-\bar{\zeta}} + \frac{1}{\pi} \int_0^{\infty} \frac{F_2(\lambda)}{T(\lambda)} \cos \lambda(z-\zeta) d\lambda - \frac{F_2(\lambda_1)}{T'(\lambda_1)} \sin \lambda_1(z-\zeta)$$

$$F_1(\lambda) = 2m_{12}^2 \lambda \operatorname{sh} \lambda \eta e^{2\lambda H}, \quad F_2(\lambda) = 2(\lambda m_{12} - v_1) \operatorname{sh} \lambda \eta, \quad T(\lambda) = \lambda m_{12} - v_1 - (\lambda - v_1) e^{2\lambda H}$$



Фиг. 3

Фиг. 3. Волновое сопротивление и подъемная сила кругового цилиндра ($b/a = 1$), движущегося в двухслойной жидкости под свободной поверхностью при $\rho_2/\rho_1 = 0,97$, $H/a = 4$, $h/a = 2$, 1 – настоящая работа, 2 – [4]



Фиг. 4

Фиг. 4. Гидродинамические характеристики эллиптического контура ($b/a = 0,5$), движущегося в двухслойной жидкости под свободной поверхностью при $\rho_2/\rho_1 = 0,97$, $H/a = 4$, $h/a = 1$; 2; 3 (кривые 1–3), $\beta = -1 - Fr < Fr_*$, $\beta = 1 - Fr < Fr_*$

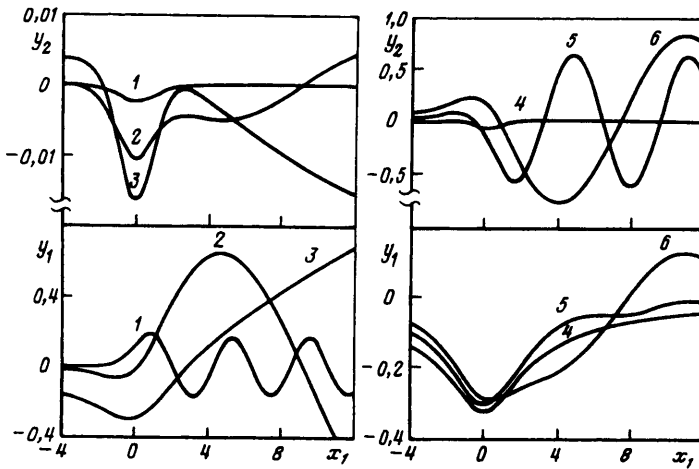
где λ_1 – положительный корень уравнения $T(\lambda) = 0$, существующий при $m_{12}^2 < Hv_1$.

Результаты расчета волнового сопротивления, подъемной силы, момента относительно центра эллипса представлены на фиг. 3. Обращает на себя внимание разрыв подъемной силы при $Fr_* = 0,3464$ (критическое число Фруда определяется из соотношения $m_{12}^2 = Hv_1$). На фиг. 4 приведены расчеты формы границы раздела сред. При закритических числах Фруда наблюдается режим обтекания без образования волн в дальнем поле за телом.

3. Рассмотрим наиболее общую задачу обтекания контура потоком двухслойной жидкости, ограниченной сверху свободной поверхностью ($\rho_3/\rho_2 = 0$). Выражения $K_k(z, \zeta)$ ($k = 1, 2$) имеют вид

$$K_1(z, \zeta) = \frac{1}{\pi} \int_0^{\infty} \frac{F_1(\lambda)}{(\lambda - v)T(\lambda)} e^{-i\lambda(z - \xi)} d\lambda - i \frac{F_1(v)}{T'(v)} e^{-iv(z - \xi)} - i \frac{F_1(\lambda_1)}{(\lambda_1 - v)T'(\lambda_1)} e^{-i\lambda_1(z - \xi)}$$

$$K_2(z, \zeta) = \frac{1}{2\pi i} \frac{1}{z - \zeta} + \frac{1}{\pi} \int_0^{\infty} \frac{F_2(\lambda)}{(\lambda - v)T(\lambda)} e^{-i\lambda(z - \bar{\zeta})} d\lambda + \frac{1}{\pi} \int_0^{\infty} \frac{F_3(\lambda)}{T(\lambda)} e^{i\lambda(z - \zeta)} d\lambda -$$



Фиг. 5. Поверхностные и внутренние волны, генерируемые эллиптическим контуром ($b/a = 0,5$), движущимся в двухслойной жидкости под свободной поверхностью при $\rho_2/\rho_1 = 0,97$, $H/a = 4$, $h/a = 2$, $Fr = 0,1; 0,2; 0,3; 0,5; 1,0; 1,5$ (кривые 1–6)

$$-i \frac{F_2(\nu)}{T'(\nu)} e^{-i\nu(z-\bar{\zeta})} - i \frac{F_2(\lambda_1)}{(\lambda_1 - \nu)T'(\lambda_1)} e^{-i\lambda_1(z-\bar{\zeta})} + i \frac{F_3(\lambda_1)}{T'(\lambda_1)} e^{i\lambda_1(z-\bar{\zeta})}$$

$$F_1(\lambda) = 2m_{12}^2 \lambda (\lambda \operatorname{ch} \lambda \eta + \nu \operatorname{sh} \lambda \eta) e^{2\lambda H}$$

$$F_2(\lambda) = \frac{1}{2} (\lambda + \nu) \left((\lambda - \nu m_{12}) e^{2\lambda H} - m_{12} (\lambda - \nu) e^{-2\lambda \eta} \right)$$

$$F_3(\lambda) = \frac{1}{2} m_{12} \left((\lambda - \nu) e^{-2\lambda \eta} + \lambda + \nu \right)$$

$$T(\lambda) = m_{12} (\lambda + \nu) + (\lambda - m_{12} \nu) e^{2\lambda H}$$

где λ_1 – положительный корень уравнения $T(\lambda) = 0$, который существует при $H\nu m_{12} > m_{12}^1$.

В качестве сравнения полученных результатов с расчетными данными работы [4] на фиг. 3 представлены зависимости волнового сопротивления $D_x = 2R_x / \pi a^2 g \rho_2$ и подъемной силы $D_y = 2R_y / \pi a^2 g \rho_2$ от числа Фруда $Fr_h = V_\infty / \sqrt{g h}$ для кругового цилиндра, движущегося над границей раздела двух жидкостей $\rho_2/\rho_1 = 0,97$ под свободной поверхностью. Представленные результаты рассчитаны при докритических числах Фруда ($Fr_h = Fr_{h*} = 0,2414$). Как видно из представленного сравнения, полученные результаты хорошо согласуются с известными.

С целью оценки влияния параметров задачи на гидродинамические характеристики контура и форму границ раздела сред был проведен обширный численный эксперимент. Вычислялись волновое сопротивление, подъемная сила, момент относительно центра эллипса. Критическое число Фруда $Fr_* = 0,3413$, определяется из соотношения $H\nu m_{12} = m_{12}^1$. Результаты расчетов представлены на фиг. 4. Для подъемной силы наблюдается разрыв при числе Фруда, равном критическому. Также обращает на себя внимание рост волнового сопротивления с приближением к границе раздела при докритических числах Фруда, при закритических числах Фруда рост происходит с уменьшением отстояния от свободной поверхности. Такое явление объясняется преобладанием

внутренних волн при докритических числах Фруда и поверхностных при закритических (см. фиг. 5, где представлена форма границы раздела сред и свободной поверхности).

Заключение. Поверхностные и внутренние волны оказывают существенное влияние на гидродинамические характеристики контура. Это влияние проявляется особенно сильно в окрестности критического числа Фруда, где наблюдаются разрывы гидродинамических характеристик и качественно меняется форма границ раздела сред, что показывает на неприемлемость линейной теории в этих диапазонах изменения Fr_* .

Работа выполнена при финансовой поддержке Российского фонда фундаментальных исследований (код проекта 96-01-00093).

СПИСОК ЛИТЕРАТУРЫ

1. Степаняц Ю.А., Стурова И.В., Теодорович Э.В. Линейная теория генерации поверхностных и внутренних волн // Итоги науки и техники. Сер. Механика жидкости и газа. М.: ВИНТИ, 1987. Т. 21. С. 93–179.
2. Хабахнашева Т.И. Плоская задача об обтекании кругового цилиндра равномерным потоком двухслойной жидкости // Изв. РАН. МЖГ. 1996. № 1. С. 91–97.
3. Стурова И.В. Влияние внутренних волн на гидродинамические характеристики погруженного тела // Изв. РАН. Физика атмосферы и океана. 1993. Т. 29. № 6. С. 732–738.
4. Филиппов С.И. Задача о движении круглого цилиндра под свободной поверхностью двухслойной тяжелой жидкости // Тр. семинара по краевым задачам. Казань: Изд-во Казан. ун-та, 1987. № 23. С. 226–230.
5. Филиппов С.И. Движение круглого цилиндра в потоке многослойной весомой жидкости // Тр. семинара по краевым задачам. Казань: Изд-во Казан. ун-та, 1990. № 24. С. 234–240.
6. Горлов С.И. Решение линейных задач о равномерном движении вихресточника в многослойной жидкости // Изв. РАН. МЖГ. 1995. № 3. С. 127–132.

Омск

Поступила в редакцию
18.XII.1996